

# ارزیابی بیان پروتئین‌های ATF-۲ و P۳۸ در سلول‌های کورتکس جنین رت بعد از القای مرگ سلولی در مدل صدمه به DNA

مژگان حسینی <sup>\*</sup>Ph.D<sup>\*\*</sup>، کاظم پریور <sup>\*</sup>Ph.D<sup>\*\*</sup>، محمد حسین قهرمانی <sup>\*</sup>Ph.D<sup>\*\*</sup>، سید ناصر استاد <sup>\*</sup>Ph.D<sup>\*\*</sup>

<sup>\*</sup>دانشگاه آزاد اسلامی تهران، واحد علوم و تحقیقات، گروه زیست‌شناسی

<sup>\*\*</sup>دانشگاه علوم پزشکی تهران، دانشکده داروسازی، گروه سمندانی، بخش کشت سلولی

آدرس مکاتبه: تهران، دانشگاه آزاد اسلامی، واحد علوم تحقیقات، دانشکده علوم پایه، گروه زیست‌شناسی

E-mail: mojgan\_hosseini@gawab.com

## چکیده

دریافت مقاله: ۱۴۰۰/۷/۸، پذیرش مقاله: ۱۴۰۰/۷/۳۱

\* هدف: مطالعه و مقایسه بیان پروتئین‌های ATF-۲ (Association Transcription Factor-2) و P۳۸ (Rat) بعد از القای مرگ سلولی توسط صدمه به DNA

\* مواد و روش‌ها: در این مطالعه تجربی کورتکس جنین‌های رت ۱۶ تا ۱۴ روزه خارج شد. پس از آن سلول‌ها به شکل سوپرسانیون سلولی در آمدند. سپس تعداد  $1/2 \times 10^5$  سلول نورونی حاوی محیط کشت بدون سرم بر روی ظروف کشت پوشش شده با Poly-D-Lysine کاشته شدند. ۲۴ ساعت پس از کشت، تیمار با Camptothecin (مهار کننده توپایزومراز ۱) در غلظت  $10^{-5}$  مولار انجام گرفت. پس از گذشت ۴، ۶، ۲۴ و ۴۸ ساعت، با استفاده از آنتی‌یادی اولیه، بیان ۲-ATF و P۳۸، با تکنیک ایمونوستیشیمی بررسی گردید. ارزیابی هسته توسعه با فر لیز کننده و شمارش هسته زنده و مرده انجام شد. مطالعه و شمارش نورونها با استفاده از میکروسکوپ فلورسنت و نوری انجام شد. سپس آنالیز آماری بر اساس آنواری یک‌طرفه Post Test (One-Way ANOVA) و Tukey به طریق توکی (Tukey) بر روی درصد سلول‌های زنده و درصد سلول‌های بیان کننده انجام گرفت.

\* یافته‌ها: میزان بیان P۳۸ در گروه تیمار شده با Camptothecin برای زمان‌های ۴، ۶، ۲۴ و ۴۸ ساعت به ترتیب  $40 \pm 5$  درصد و میزان بقا به ترتیب  $95 \pm 5$  و  $50 \pm 5$  درصد، و میزان بیان ATF-۲ به ترتیب  $30 \pm 5$  و  $45 \pm 5$  درصد است و میزان بقا به ترتیب  $97 \pm 5$  و  $50 \pm 5$  درصد است. درصد بیان P۳۸ و بقا نورون‌ها در ساعت ۲۴ به ترتیب  $(40 \pm 4) \pm 64$  درصد) و درصد بیان ATF-۲ و بقا نورون‌ها به ترتیب  $(30 \pm 64) \pm 40$  درصد) در مقایسه با کنترل افزایش معنی داری در سطح  $P < 0.05$  نشان می‌دهد. بیان پروتئین‌ها، در ۴ ساعت تغییر معنی داری نشان نمی‌دهد.

\* نتیجه گیری: نتایج نشان می‌دهد که بیان پروتئین ATF-۲ و P۳۸ افزایش پیدا می‌کند و افزایش بیان P۳۸ همراه با افزایش بیان ATF-۲ است، بنابراین Camptothecin در این مدل، موجب مرگ نورونی از طریق تحریک مسیر  $P38 - ATF - 2$  می‌شود.

کلیدواژگان: Camptothecin (کامپتوتیسین)، ATF-۲، P۳۸، DNA، صدمه به DNA، کورتکس جنین Rat (رت)

فصلنامه پژوهشی یاخته، سال هفتم، شماره ۳، پاییز ۸۴، صفحات ۱۳۱-۱۴۶

است. در کشت اولیه سلول‌های کورتکس مغز، مهار توپایزومراز ۱ توسط موجب صدمه به DNA و متعاقباً شروع مرگ سلولی می‌گردد (۱).

در این مدل، القای مرگ توسط Camptothecin موجب فعال شدن مسیرهای مرگ آپوپتوزی شده و پس از ۲۴ ساعت مرگ اتفاق می‌افتد. مطالعات نشان داده است که پروتئینهای P53 و Bax در این روند دخالت دارند و عملای عدم حضور این پروتئینها، می‌تواند کاملاً مرگ را مهار کند. علاوه بر این در این مدل مسیر C-Jun-JNK-C-Jun می‌شوند و افزایش بیان پروتئین C-Jun مشاهده می‌شود ولیکن نصف مسیرهای دیگر مرگ سلولی در این مدل بررسی نگردیده است. در این روش سلول‌های کورتکس مغز پس از کشت، با Camptothecin مسجاور شده و مرگ سلول در طول ۲۴ ساعت اتفاق می‌افتد (۱).

## مقدمه

شناخت مکانیسم‌های مرگ سلول‌های عصبی در ابداع روش‌های درمانی جدید و یا پیش‌گیری بیماری‌های عصبی از جمله آلزایمر و سکته‌های مغزی از اهمیت خاصی برخوردار است. در این راستا، مدل‌های مختلف کشت سلول‌های عصبی مورد بررسی قرار گرفته‌اند که یکی از مدل‌های مناسب، کشت سلول‌های عصبی کورتکس مغز و القای مرگ سلولی توسط آسیب رسانیدن به DNA است (۱). در سلول‌های عصبی که پس میتوزی (Post mitotic) هستند، شروع چرخه سلولی موجب شروع مکانیسم‌های مرگ سلولی برنامه‌دار (Apoptosis) می‌شود. یکی از مدل‌های مناسب مرگ سلول‌های عصبی، القای مرگ در نورون‌های کورتکس توسط Camptothecin

به صورت یک سوسپانسیون یکنواخت سلولی در آید (۱) این سوسپانسیون در ۲ میلی لیتر محیط DMEM+F12 تهیه شد. سپس تعداد  $10^5 \times 1/2$  سلول از سوسپانسیون سلول نورونی حاوی محیط کشت بدون سرم که حاوی ۳ گرم گلوكز (شرکت Sigma)، ۵۰ میلی گرم انسولین (Sigma Transferin)، ۱۲۵ میلی گرم Progesterone (شرکت Sigma)، ۲۰ میلی گرم Putrescine (شرکت Sigma)، ۲۰ میلی گرم Selenium (شرکت Sigma)، ۲۰ میلی لیتر F12 (شرکت PAN) که به نسبت ۱:۱ با MEM (شرکت Gibco) ترکیب شد (۱) بر روی ظروف کشت پوشش شده با Sigma Poly-D-Lysine (از شرکت Sigma) کاشه شدند.

۲۴ ساعت پس از کشت، تیمار با Camptothecin (شرکت Sigma) در غلظت  $10^{-5}$  مولار انجام گرفت. پس از گذشت ۴، ۶، ۲۴ و ۴۸ ساعت، محیط همراه با دارو خارج شد و سپس یک گروه از سلول‌ها، با متابول: استون فیکس شدند و با افزودن آنتی‌بادی اولیه (Signaling technology Cell ATF-۲) یا  $\text{P}38\alpha$  (هر دو از شرکت Santa Cruz) به نسبت ۱ به  $500$  میکرومولتر به مدت ۱۲–۱۶ ساعت در ۴ درجه سانتی‌گراد مجاور گردید. و با افزودن آنتی‌بادی شانویه (Fluorescein Isothiocyanate: FITC) از میزان بیان به روش ایمونوستوچیمی مطالعه شد. جهت مطالعه تراکم کروموزومی از رنگ آمیزی با Hoechst ۳۳۲۵۸ (هoxست) از Sigma استفاده گردید. با افزودن بافر لیزکننده سلولی NaCl, glacial acetic acid, Triton, MgCl<sub>2</sub>, phosphate) Cetyl methyl Merck buffer saline: PBS Bromophenol Sigma از شرکت ammonium bromide (blue) به میزان  $100$  میکرولیتر تعداد هسته‌های مرده و زنده مطالعه شد. این بافر غشا سلولی را از بین می‌برد ولیکن به هسته صدمه نمی‌زند و می‌توان زیر میکروسکوپ نوری هسته‌های زنده و مرده را شمارش کرد (۹، ۱۰، ۱۱).

آزمایشات حداقل ۴ بار تکرار گردید. آنالیز آماری نتایج بر اساس آنوار یک طرفه (ANOVA One-Way) و Test post (Tukey) بر روی درصد زنده‌ها در سطح  $P < 0.05$ ، انجام گرفت.

## یافته‌ها

کشت سلول‌های کورتکس و مشاهده انشعابات آن سلول‌های نورونی بر روی ظروف پوشش شده با Poly-D-Lysine کشت شدند. پس از ۲۴ ساعت انشعابات اکسونی و پس از ۴۸ ساعت انشعابات دندانی نیز نمایان شدند (شکل ۱).

## بررسی هسته‌های نورونی

در این روش به وسیله بافر لیزکننده سلولی، هسته‌ها از سلول جدا شده و توسط میکروسکوپ نوری هسته‌های زنده از مرده شناسایی شدند

تحقیقات انجام شده نشان می‌دهد که فعال شدن مسیرهای میتوژن اکتیویتد پروتئین کیناز (MAPK) از جمله مسیر  $\text{P}38$  موجب آپوپتوز نورونی می‌گردد که تحریک این مسیر و متعاقباً پروتئین‌های پایین دست (Association Transcription Factor-2: ATF-۲) همچون (۲) آن می‌تواند در این فرآیند دخالت داشته باشد. به همین دلیل میزان بیان فاکتور نسخه‌برداری ATF-۲ که در مدل‌های دیگر موجب مرگ سلولی شده است می‌تواند نشان‌گر شروع این فرآیند باشد. در همین راستا، فعال شدن مسیر  $\text{P}38$  در سلول‌های سالم و در سلول‌های سرطانی نقش کلیدی در مرگ سلولی دارد. جالب توجه اینکه، فعال شدن  $\text{P}38$  در سلول‌های غیر نورونی واکنش‌های متفاوتی را نشان داده است و این مسیر معمولاً به محرك‌های استرس واکنش نشان می‌دهد.

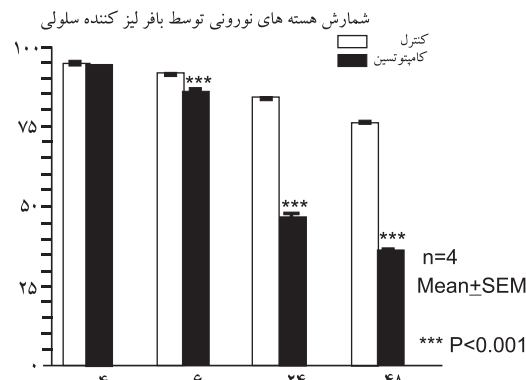
$\text{P}38$  MAPK از اعضای خانواده MAPK است که توسط انواع مختلف استرس‌های محیطی فعال می‌شود. فعال شدن این مسیر موجب تحریک  $\text{MKK}3/6$  و  $\text{MAP Kinase}$  و  $\text{MKK}3/6$  می‌شود (۳).  $\text{MKK}3/6$  در تنظیم  $\text{HSP}27$  و  $\text{MAPKAP}-2$  و  $\text{MAPKAP}-2$  چندین عامل نسخه‌برداری که شامل  $\text{ELK}-1$ ,  $\text{MEF}-2$ ,  $\text{STAT MAX/M}$  و  $\text{ATF}-2$  می‌شود، دخالت دارند.  $\text{P}38$  از طریق فسفریله شدن ترؤنین و تیروزین  $182$  خود توسط  $\text{MKK}3/6$  فعال می‌شود (۳). یکی از پروتئین‌های پایین دست  $\text{P}38$ , فاکتور نسخه‌برداری  $\text{ATF/CREB}$  از  $\text{ATF}-2$  است.  $\text{ATF}-2$  یک عضو از خانواده  $\text{ATF/CREB}$  فاکتورهای نسخه‌برداری است و توسط پروتئین‌هایی که با استرس فعال می‌شوند (۴). نتایج نشان داده  $\text{JNK}$  و  $\text{P}38$  می‌تواند مناطق  $\text{JNK}$  و  $\text{Thrv}1$  را در انتهای آمنی  $\text{P}38$  فسفریله کنند (۵). مطالعات نشان می‌دهد که صدمه DNA به وسیله  $\text{Camptothecin}$  منجر به مرگ سلولی در نورون‌های کورتکس جنین می‌شود (۷). اما اینکه  $\text{Camptothecin}$  چگونه و از چه مسیری در داخل سیتوپلاسم و سپس هسته سلول، منجر به این عمل می‌شود، قابل پیگیری است. این تحقیق بر آن است که ارتباط مسیر  $\text{P}38$  را در مدل مرگ سلول نورونی با توجه به بیان  $\text{ATF}-2$  و  $\text{P}38$  مطالعه کند. در این تحقیق ارتباط بین بیان پروتئین  $\text{ATF}-2$  و فعال شدن مسیر  $\text{P}38$  که با بررسی میزان بیان این پروتئین در حالت غیرفعال انجام می‌شود، می‌تواند نکات مهمی را در مرگ سلول‌های کورتکس مغز آشکار سازد.

## مواد و روش‌ها

ابتدا جنین‌های رت ۱۴ تا ۱۶ روزه نژاد Sprague Dawley (اسپراغک داولی) از رحم خارج گردید و سپس مغز جنین‌ها از جمجمه خارج و توسط اسکالپل استریل برشی طولی و سطحی برروی ناحیه حاشیه‌ای پشتی مخ زده شد تا این طریق کورتکس مخ جدا شد. جداسازی کورتکس و نواحی آن بر اساس اطلس پاکسینوس (Paxinos) و روند تکاملی مغز رت انجام گرفت (۲). تمامی مراحل در زیر استریو میکرو سکوپ انجام شد. پس از آن کورتکس‌ها در محیط استریل و سرد با استفاده از پیپت پاستور، خرد شد تا اینکه نمونه‌ها

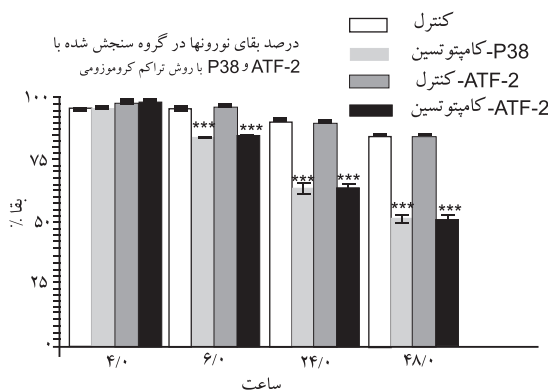
## DNA و P38 در صدمه به

میزان تراکم کروموزومی که نشان دهنده مرگ آپوپتوزی است، پس از ۶ ساعت مجاورت شروع شده و در ۴۸ ساعت به بیش از ۵۰ درصد می‌رسد.



نمودار ۱: مقایسه درصد بقای Nuclear Integrity در ۴، ۶، ۲۴ و ۴۸ ساعت پس از تیمار با Camptothecin در گروه کنترول و دارو (۱۰<sup>-6</sup> مولار). پس از ۶، ۲۴ و ۴۸ ساعت مجاورت با دارو، میکرو لیتر از بافر لیزیکننده به سلول‌ها اضافه و هسته‌ها شمارش می‌شود. تعداد هسته‌های زنده بر روی تعداد کل هسته‌ها، به صورت Mean±SE نشان داده شده است (n=4). همان طور که مشاهده می‌شود، درصد بقای هسته نورون‌ها پس از ۶ ساعت تغییر معنی‌داری نمی‌یابد ولیکن، پس از ۲۴ و ۴۸ ساعت در سطح  $P<0.001$  اختلاف معنی‌داری با گروه بدون دارو دارد. (\*\*\*) $P<0.001$

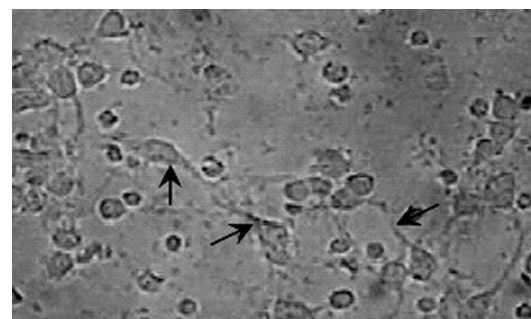
با توجه به اینکه نورون‌ها به دو گروه تقسیم شده‌اند و در یک گروه بیان P38 و در گروه دیگر ATF-۲ اندازه‌گیری شده، تراکم کروموزومی در دو گروه یکسان بوده و اعداد مشابه هم است.



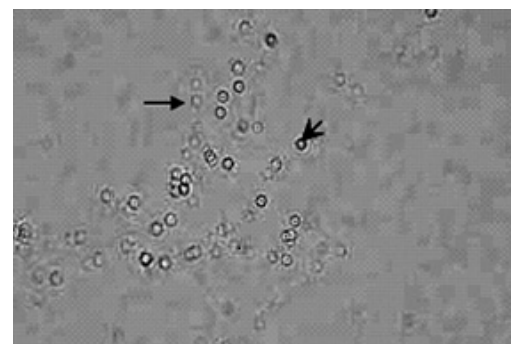
نمودار ۲: مقایسه درصد بقای نورون‌ها در گروه سنجش شده با P38 و ATF-۲ با روش تراکم کروموزومی. در این روش پس از ۶، ۲۴ و ۴۸ ساعت مجاورت با Camptothecin و استفاده از آنتی‌بادی اولیه و ثانویه، رنگ‌آمیزی هوخته ۳۷۷۵۸ انجام می‌شود. با توجه به رنگ هوخته نورون‌های زنده از مرده مشخص شده و شمارش می‌شود. تعداد نورون‌های زنده بر روی تعداد کل نورون‌ها، به صورت Mean±SE نشان داده شده است (n=4).

میزان بقا در گروه دارو که بیان P38 انجام شد، معادل  $95\pm0.28$  و برای گروه ATF-۲ معادل  $85\pm0.27$  و  $64\pm1.58$  و برای گروه P38 معادل  $50\pm0.45$  و  $50\pm0.40$  در ۶، ۲۴ و ۴۸ ساعت

(شکل ۲). این عمل در ساعت‌های مختلف تیمار دارویی پس از کشت، انجام شد. پس از به دست آوردن درصد بقای سلول‌ها، آنالیز آماری بر روی آنها انجام شد (نمودار ۱).



شکل ۱: کشت سلول‌های نورونی و انشعابات آن. نورون‌ها پس از شمارش بر روی ضروف پوشش شده با Poly-D-Lysine کاشته شدند. پس از ۲۴ ساعت از کشت، نورون شروع به انشعاب و تولید آکسون نمودند و برای تیمار دارویی آماده شدند. میکروسکوپ نوری معکوس (۴۰۰X)

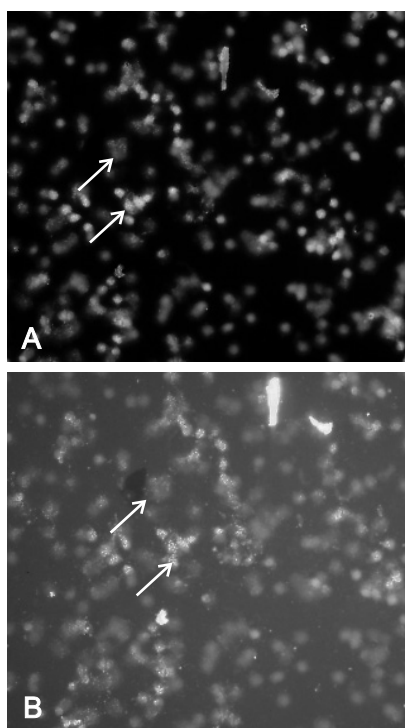


شکل ۲: بررسی هسته‌های نورونی پوشش هسته‌های مرده تیره و زنده شفاف است (۱۰۰X). فلش کوتاه هسته مرده و فلش کشیده هسته زنده را نشان می‌دهد.

به این ترتیب که درصد بقای هسته نورون‌ها از ۶ تا ۴۸ ساعت بین ۹۵ تا ۳۵ درصد متغیر بود، این میزان بقا در گروه تیمار شده با Camptothecin برای زمان‌های ۶، ۲۴ و ۴۸ ساعت به ترتیب  $85\pm0.73$ ،  $47\pm0.73$ ،  $95\pm0.45$ ،  $85\pm0.63$  و  $35\pm0.22$  درصد است (نمودار ۱). همان‌طور که مشاهده می‌شود، در گروه دارو از ساعت ۶ اختلاف معنی‌داری با گروه کنترل نشان می‌دهند که موید القای مرگ توسعه دارو است. درصد بقای نورون‌ها در گروه کنترل و دارو در ساعت ۶ در مقایسه با کنترل و داروی ساعت ۶، ۲۴ و ۴۸ و دارای افزایش معنی‌دار است. تعداد هسته‌های مرده پس از گذشت ۶ ساعت از تیمار با Camptothecin، افزایش نشان داد. این نشان دهنده آن است که در ۶ ساعت پس از اضافه کردن Camptothecin مرگ نورونی صورت گرفته است.

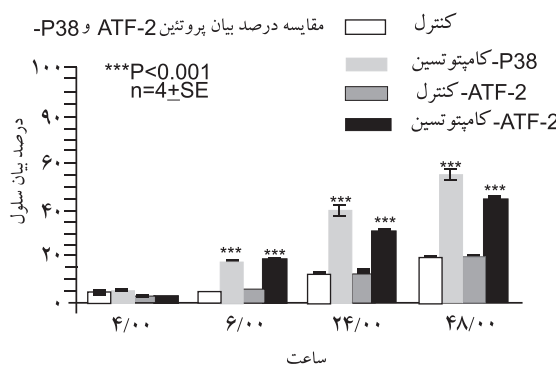
### بررسی میزان تراکم کروموزومی در نورون‌ها

میزان تراکم کروموزومی در نورون‌ها توسط رنگ‌آمیزی هوخته بررسی گردید. همان‌طور که نمودار ۲ نشان می‌دهد، در گروه مجاور با



شکل ۴: بررسی بیان ATF-۲ در نورون‌ها پس از ۴۸ ساعت القای مرگ توسط Camptothecin. نورون‌ها به تعداد  $10^5 \times 1/2$  در هر Chamber کاشته شدند و به مدت ۴۸ ساعت با (A) Camptothecin و یا بدون آن (B) مجاور گردید. میزان بیان FITC(B) در این سلول‌ها توسط آنتی‌بادی اختصاصی و آنتی‌بادی ثانویه (B) بررسی گردید. مرگ این سلول‌ها توسط رنگ‌آمیزی هسته با هوخست (A) بررسی گردید. فلش کوتاه، سلول مرده و فلش کشیده، سلول زنده را نشان می‌دهد. این تصاویر نشان می‌دهد که پس از ۴۸ ساعت از تیمار با Camptothecin، مرگ و بیان ATF-۲ هر دو به اوج خود رسیده است (۴۰۰X).

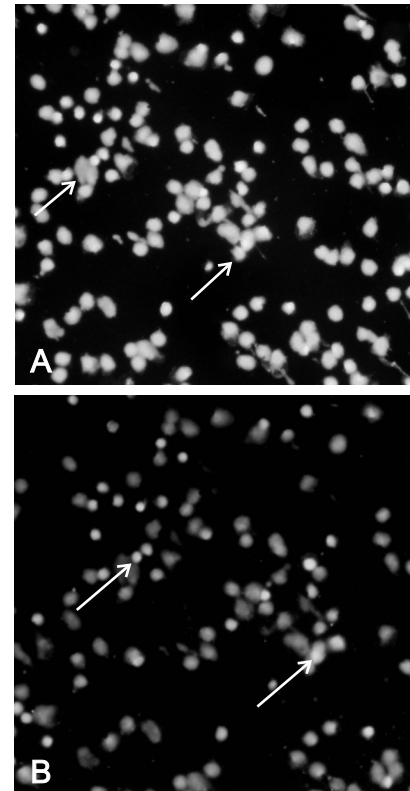
(مشاهده نمونه رنگی شکل در انتهای مقالات)



نمودار ۳: مقایسه درصد بیان پروتئین ۲ ATF-۲ و P38 در گروه کنترل و پس از تیمار Camptothecin (۱۰<sup>-۵</sup> مولار). در این روش پس از ۶، ۲۴، ۴۸ ساعت مجاورت با Camptothecin و استفاده از آنتی‌بادی اولیه و ثانویه، تعداد نورون‌های بیان کننده پروتئین ۲ ATF-۲ و P38 (افزایش رنگ مشخص شده توسط FITC) با نمونه‌های کنترل مقایسه و شمارش شدند. تعداد نورون‌های بیان کننده بر روی تعداد کل نورون‌ها، به صورت Mean $\pm$ SE نشان داده شده است ( $n=4$ ). همان طور که مشاهده می‌شود، درصد بیان پروتئین‌ها، پس از ۴ ساعت تغییر معنی‌داری نمی‌یابد ولیکن، پس از ۶، ۲۴ و ۴۸ ساعت در سطح  $<0.001$  P اختلاف معنی‌داری با گروه بدون دارو دارد.

ساعت پس از مجاورت با Camptothecin می‌باشد. این نشان دهنده آن است که در ۶ ساعت پس از اضافه کردن Camptothecin مرگ نورونی، شروع شده است.

همان‌طور که مشاهده می‌شود، درصد بقای نورون‌ها پس از ۴ ساعت تغییر معنی‌داری نمی‌یابد. ولیکن، پس از ۶، ۲۴ و ۴۸ ساعت در سطح  $<0.001$  P\*\*\*، اختلاف معنی‌داری با گروه بدون دارو دارد.



شکل ۵: بررسی بیان P38 در نورون‌ها پس از ۴۸ ساعت القای مرگ توسط Camptothecin. نورون‌ها به تعداد  $10^5 \times 1/2$  در هر چاهک کاشته شدند و به مدت ۴۸ ساعت با (A) Camptothecin و یا بدون آن (B) مجاور گردید. میزان بیان P38(B) در این سلول‌ها توسط آنتی‌بادی اختصاصی و آنتی‌بادی ثانویه (B) بررسی گردید. مرگ این سلول‌ها توسط رنگ‌آمیزی هسته با هوخست (A) بررسی گردید. فلش کوتاه، سلول مرده و فلش کشیده، سلول زنده را نشان می‌دهد. این تصاویر نشان می‌دهد که در ۴۸ ساعت از تیمار با Camptothecin، مرگ و بیان P38 به اوج خود رسیده است (۴۰۰X).

(مشاهده نمونه رنگی شکل در انتهای مقالات)

بررسی بیان دو پروتئین P38 و ATF-۲ در نورون‌ها در نمودار ۳ میزان بیان ATF-۲ و P38 پس از مجاورت با Camptothecin در مقایسه با گروه کنترل افزایش می‌یابد. نتایج نشان می‌دهد که در ۶ ساعت تغییری در بیان P38 و ATF-۲ وجود ندارد  $4 \pm 0.42$  و  $2 \pm 0.09$  درصد. در حالی که پس از ۶ ساعت بیان ATF-۲ به ترتیب  $0.54 \pm 0.04$  و  $0.45 \pm 0.045$  درصد، در ۲۴ ساعت ATF-۲ و  $0.58 \pm 0.05$  درصد و در ۴۸ ساعت  $0.78 \pm 0.055$  درصد می‌گردد.

علاوه بر این مشخص شده که در پیام رسانی مرگ سلولی نورون‌های کورتکس، فعال شدن مسیر JNK نیز مهم است (۱۵، ۳) و همراه با افزایش فعالیت پروتئین JNK، افزایش بیان پروتئین c-Jun و همین طور فعال شدن این پروتئین از طریق فسفوریله شدن Ser<sup>۷۳</sup> اهمیت دارد (۱۶، ۷).

مسیرهای دیگر پیام رسانی همچون P<sub>38</sub> نیز در مرگ نورونی سلول‌های هسته‌دار مخچه (۵) و در نورون‌های سمپاتیک توسط Kainic acid (۷) در کورتکس و محرک‌های مختلف در سلول‌های PC12 موش (۱۰) و در سلول‌های سرطانی انسان (۱۱) مطرح گردیده‌اند.

در این مطالعه مشخص شده که در مدل صدمه DNA توسط مهار توپوایزومراز نیز مسیر P<sub>38</sub> دخیل است.

با توجه به اینکه یکی از پروتئین‌های پیام رسانی P<sub>38</sub>-c-Jun نیز است (۱۷، ۱۸)، افزایش بیان و فعالیت P<sub>38</sub> علاوه بر اثر بر روی ATF-۲ که در این مطالعه افزایش بیان آن مشخص شده که می‌تواند c-Jun را نیز فعال کند. بدین ترتیب P<sub>38</sub> می‌تواند القای مرگ را علاوه بر از طریق ATF-۲ افزایش بیان آن را نیز فعال کند. البته لازم به ذکر است که این مطالعه، تغییر در میزان فعالیت این آنزیم‌ها و ATF-۲ را مطالعه نکرده است که با توجه به این نتایج نیازمند بررسی بیشتر است.

### نتیجه گیری

نتایج مطالعه حاضر نشان می‌دهد که در مدل مرگ نورونی، پروتئین P<sub>38</sub> و ATF-۲ هر دو پس از القای مرگ، افزایش بیان دارند. علاوه بر آن پروتئین P<sub>38</sub> زودتر از ATF-۲ افزایش بیان نشان می‌دهد. با توجه به این که ATF-۲ یکی از پروتئین‌های پاسین دست P<sub>38</sub> است و احتمال اینکه بیان زودتر P<sub>38</sub> بر روی فعالیت ATF-۲ نیز تاثیر گذارد، وجود دارد. این نتایج مovid اهمیت مسیر P<sub>38</sub> در مرگ نورونی القا شده توسط صدمه به DNA است. به طور کلی نتایج این تحقیق نشان می‌دهد که علاوه بر مسیرهای دیگر پیام رسانی، مسیر ATF-۲ و P<sub>38</sub> نیز در القای مرگ نورونی در این مدل دخیل هستند. این اثر ممکن است علاوه بر مسیرهای دیگر نیز تداخل کند که نیازمند بررسی بیشتر است. با توجه به این نتایج مهار P<sub>38</sub> و یا مهار بیان و عملکرد ATF-۲ می‌تواند به عنوان یک هدف درمانی در مرگ نورونی کورتکس و احتمالاً بیماری‌های نورودژنراتیو مورد نظر قرار گیرد.

### تقدیر و تشکر

نویسندهای این مقاله از معاونت محترم آموزشی و پژوهشی دانشکده داروسازی دانشگاه تهران، جناب آقای دکتر سید ناصر استاد ابراز می‌نمایند.

### References

1. Ghahremani MH, Keramaris E, Shree T, Xia Z,

در حالی که بیان این پروتئین‌ها در گروه کنترل حداکثر نزدیک به ۲۰ درصد می‌رسد که با ساعت‌های دیگر اختلاف معنی‌داری ندارند. با توجه به روند افزایش بیان و مقایسه آن با درصد بقا در این نورون‌ها پس از صدمه DNA مشخص می‌گردد که افزایش بیان ATF-۲ و P<sub>38</sub>، رابطه مستقیم با مرگ نورون‌ها دارد. البته لازم به ذکر است که افزایش بیان P<sub>38</sub> معنی‌دار بوده و بیان آن بیشتر از ATF-۲ می‌باشد.

### بحث

نتایج این تحقیق نشان می‌دهد که در مدل صدمه DNA با استفاده از Camptothecin، مرگ نورون‌های کورتکس در کشت اولیه این سلول‌ها اتفاق می‌افتد. روند مرگ نورونی قابل مقایسه با مطالعات دیگر است (۱۲، ۸). عمل مهاری Camptothecin بر توپوایزومراز I موجب می‌شود که عملکرد این آنزیم مختلف گردد و مشخص شده است که در سلول‌های نرمال و توموری این دارو موجب مرگ Apoptosis می‌گردد (۱۴، ۱۳). در سلول‌های نورونی القای مرگ نیز از همین طریق اتفاق می‌افتد با این تفاوت که در این نورون‌ها، به کار افتادن چرخه سلولی موجب القای مرگ می‌گردد. در این مطالعه، کشت اولیه نورون‌های کورتکس مجاور شده با Camptothecin تا ۴ ساعت مرگ مشاهده نمی‌شود و پس از ۶ ساعت مرگ قابل تشخیص است. این مرگ به صورت تراکم کروموزومی و متراکم شدن هسته تا ۲۴ ساعت قطعه قطعه شدن سلول و تخریب ساختمان سلول پس از ۶ ساعت مشخص است (شکل ۳ و ۴، نمودار ۱ و ۲). بررسی بیان پروتئین‌های P<sub>38</sub> و ATF-۲ که اولی پروتئین کینازی جهت فعال کردن مسیرهای پاسین دست از جمله ATF-۲ و دومی یک فاکتور نسخه‌برداری است که توسط مسیرهای القا استرس فعل می‌شود، نشان می‌دهد که پس از القای مرگ در نورون‌ها، بیان این پروتئین افزایش می‌یابد (نمودار ۳). مطالعات نشان داده که مسیر P<sub>38</sub> توسط محرک‌های استرس فعل می‌شود که فعل شدن این آنزیم از طریق فسفوریله شدن Tyr<sup>۱۸۲</sup> و Thr<sup>۱۸۰</sup> است (۱۵).

از طرف دیگر فعل شدن P<sub>38</sub> می‌تواند موجب افزایش فعالیت ATF-۲ و فسفوریله شدن این پروتئین گردد (۶).

در این مطالعه مشخص شده که محرک صدمه به DNA، بیان P<sub>38</sub> و ATF-۲ را افزایش می‌دهد که هر دو این پروتئین‌ها می‌توانند مسیر (استرس اکتیویتد پروتئین کیناز) P<sub>38</sub>/SAPK را فعال کنند. علاوه بر این نتایج این مطالعه نشان می‌دهد که بیان ATF-۲ نیز افزایش می‌یابد.

مطالعات دیگر در رابطه با اثر محرک‌های استرس بر مرگ سلولی مovid فعل شدن و فسفوریله شدن ATF-۲ بوده است (۱۸، ۱۲) اما نتایج این تحقیق نشان می‌دهد که افزایش بیان پروتئین نیز اتفاق می‌افتد (نمودار ۳). مطالعات قبل در این مدل نشان داده که القا مرگ توسط همراه با افزایش بیان P<sub>53</sub> و Bax است (۹، ۱).



Davis RJ, Flavell R, Slack RS, Park DS: Interaction of

- the c-Jun/JNK pathway and cyclin-dependent kinases in death of embryonic cortical neurons evoked by DNA damage. *J Biol Chem*, 2002;277: 35586–35596
2. Paxinos G, Tork I, Tecott LH: *Atlas of developing rat brain*. Academic press, 1991; 52-54
  3. Eilers A, Teng B, Qin W, Ansari HR: Role of the Jun kinase pathway in the regulation of c-Jun expression and apoptosis in sympathetic neurons. *J Neurosci*, 1998; 78: 1713-1724
  4. Sano Y, Akimaru H: Drosophila ATF-2 is involved in stress response via activation by P38, but not JNK. *Mol Biol Cell*, 2003; 2: 35-42
  5. Yamagishi S, Yanada M: P38 mitogen- activated protein kinase regulates low potassium-induced c-jun phosphorylation and apoptosis in culture cerebellar granule neurons. *J. Biol Chem*, 2001; 276: 5129-5133
  6. Ouwens DM, Ruiter ND: Growth factors can activate ATF-2 via a two-step mechanism. phosphorylation of Thr 71 through the Ras-MEK-ERK pathway and of Thr 69 through Ral-GDS-Src-P38. *EMBO J*, 2002;21: 3782-3793
  7. Kanamoto T, Kale VP, Vaidya AA: Role of apoptosis signal-regulating kinase in regulation of the c-Jun N-terminal kinase pathway and apoptosis in sympathetic neurons. *Mol Cell Biol*, 2000; 20: 196-204
  8. Kyriakis JM, Avruch J: Mammalian mitogen-activated protein kinase signal transduction pathways activated by stress and inflammation. *Physiol Reviews*, 2001;81: 807-826
  9. Keramaris E, Hirao A, Slack S, Mak T, Park D: Ataxia telangiectasia -mutated protein can regulate p53 and neuronal death independent of Chk2 in response to DNA damage. *J Biol Chem*, 2003; 278: 37782–37789
  10. Rukenstein A, Rydel R, Greene L: Multiple agents rescue PC12 cells from serum-free cell death by Translation- and transcription-independent mechanisms. *J Neurosci*, 1991; 11: 2552-2583
  11. Sonnenschein C, Soto A: The role of estrogens on the proliferation of human breast tumour cells (MCF-7). *J Stero Biochem*, 1985; 23:87-94
  12. Girish V, Borasio GD: Intrinsic and extrinsic pathway signaling during neuronal apoptosis. *J Cell Biol*, 2002; 157: 1075-1085
  13. Morris EJ, Geller HM: Induction of neuronal apoptosis by camptothecin, an inhibitor of DNA topoisomerase I. *J Cell Biol*, 1996; 134: 754-770
  14. Fan Y: Molecular modeling studies of the DNA topoisomerase I ternary cleavable complex with camptothecin. *J Med Chem*, 1998; 41: 2216-2226
  15. Mielka K, Avruch J: Activation of JNK and P38 stress kinase, jun phosphorylation and c-Jun /AP-1 DNA binding activity following kainic acid induced seizures. *Neurosci*, 1999; 91: 48310-49000
  16. Ogita K, Nittay Y, Yoned Y: In vivo activation of c-Jun N- terminal kinase signaling cascade prior to granule cell death induced by trimethyltin in the dentate gyrus of mice. *Neuropharmacol*, 2004; 47: 619-630
  17. Papassava P, Gorgoulis VG, Zoumpourlis V: Overexpression of activating transcription factor-2 is required for tumor growth and progression in mouse skin tumor. *Cancer Res*, 2004; 64:8573-8584
  18. Sano Y, Akimaru H: Drosophila ATF-2 is involved in stress response via activation by P38, but not JNK. *Mol Biol Cell*, 2003; 92: 57-69

